



مقارنة كفاءة مقدرات انموذج الصندوق الاسود ARMAX للتنبؤ بقيم الناتج المحلي الاجمالي في العراق

A Comparison of the Efficiency of Estimators for the Black Box Model ARMAX to prediction Iraq's GDP values

أ.م.د سعد صبر محمد<sup>(2)</sup>

زهراء منذر حسن<sup>(1)</sup>

Asst. Prof. Dr Saad Sabr Mohammed

[ssabir@uowasit.edu.iq](mailto:ssabir@uowasit.edu.iq)

Zahraa Munther Hassan

[Zmunther523@uowasit.edu.iq](mailto:Zmunther523@uowasit.edu.iq)

المستخلص :

إن اختيار الانموذج المناسب هو شرط اساسي للتنبؤ بالسلسل الزمنية ، لذلك تم دراسة انموذج الصندوق الاسود والمتمثل بانموذج الانحدار الذاتي والمتوسطات المتحركة مع مدخلات خارجية (ARMAX) و اختيار الانموذج المناسب للتنبؤ على اساس خطوات محددة تبدء هذه الخطوات بالتعرف على الانموذج وذلك من خلال التحقق من استقراريه السلسلة الزمنية المراد دراستها ، يليها اختيار الانموذج المناسب من خلال تحديد رتبة الانموذج بعده معايير منها ، معيار أكافي للمعلومات (AIC) معيار المعلومات البيزي (BIC) ، ثم خطوة تقدير الانموذج بطريقة المربعات الصغرى الاعتيادية (OLS) ، وطريقة المتغيرات المساعدة الموسعة (EIV) ، تتم مقارنه هذه الطرائق باستعمال مقاييس التقييم ، بما في ذلك مقياس الجذر التربيعي لمتوسط مربعات الخطأ (RMSE) ، مقياس متوسط مطلق الخطأ النسبي(MAPE) ، والمتوسط المتماثل لمطلق الخطأ النسبي (SMAPE) . حيث اظهرت النتائج ان انموذج ARMAX (3,1,3,3) أفضل انموذج مقدر بطريقة (OLS) ، لذلك تم الاعتماد عليه للتنبؤ بقيم الناتج المحلي الاجمالي في العراق حتى عام 2035.

الكلمات المفتاحية : انموذج الانحدار الذاتي والمتوسطات المتحركة مع مدخلات خارجية (ARMAX) ، معيار أكافي للمعلومات (AIC) ، معيار المعلومات البيزي (BIC) ، طريقة المربعات الصغرى الاعتيادية (OLS) ، طريقة المتغيرات المساعدة الموسعة (EIV) ، مقياس الجذر التربيعي لمتوسط مربعات الخطأ (RMSE) ، التنبؤ .

Abstract:

The selection of an appropriate model is a fundamental requirement for forecasting time series. This study examines the black-box model, represented by the Autoregressive

Moving Average with Exogenous Inputs (ARMAX) model، and focuses on selecting the optimal model for forecasting based on a structured sequence of steps. These steps begin with model identification، which involves verifying the stationarity of the time series under investigation. Subsequently، the appropriate model is selected by determining its order using several criteria، including the Akaike Information Criterion (AIC) and the Bayesian Information Criterion (BIC) . The next step is model estimation، conducted using the Ordinary Least Squares (OLS) method and the Extended Instrumental Variables (EIV) method. These methods are compared using evaluation metrics such as the Root Mean Square Error (RMSE)، the Mean Absolute Percentage Error (MAPE)، and the Symmetric Mean Absolute Percentage Error (SMAPE). The results indicated that the ARMAX (3,1,3,3) model، estimated using the OLS method، is the best-performing model. Therefore، this model was employed to forecast the Gross Domestic Product (GDP) of Iraq up to the year 2035."

## 1-المقدمة

في الوقت الذي تؤدي فيه السلاسل الزمنية دوراً مهماً في تحليل البيانات والتنبؤ بالمستقبل لمختلف الظواهر الاقتصادية والهندسية والبيئية ، تبرز الحاجة إلى تطوير نماذج رياضية دقيقة للتنبؤ بهذه السلاسل، لتحقيق هذا الهدف يستعمل نموذج الصندوق الاسود ARMAX ، حيث تقوم هذه النماذج بالدمج بين اسلوب السلاسل الزمنية التي تعتمد على البيانات التاريخية واسلوب الانحدار بمتغيرات خارجية اضافة إلى ذلك الاخطاء السابقة .

مع تنوع التطبيقات وتعدد البيانات التي تطبق فيها هذه النماذج ، تظهر الحاجة إلى تقييم كفاءة ودقة هذه النماذج في ظل ظروف مختلفة حيث يتم في هذا البحث دراسة مقارنة لمقدرات نموذج الانحدار الذاتي والمتوسطات المتحركة مع مدخلات خارجية ARMAX للتنبؤ بالنتائج المحلي الاجمالي في العراق .

في عام 2017 م اقترح الباحثون ( Hesen Liu & Lin Zhu [6] )نهجاً شاملًا لتحديد نموذج دالة التحويل منخفض الترتيب يعتمد على القياس عبر الانترنت الذي يمكنه التقاط جميع اوضاع التذبذب الرئيسية للتحكم في تخميد التذبذب التكيفي والمنسق ، باستعمال نموذج المتوسط المتحرك ذاتي الانحدار مع متغيرات خارجية (ARMAX) متعدد المدخلات والمخرجات (MIMO) هذه المنهجية تتكون من خمس خطوات : اختيار المدخلات ، اختيار المخرجات ، تحديد الانموذج ، تقدير الانموذج واختبار الانموذج ، في هذه الدراسة تم استعمال البيانات المحيطة والبيانات الحلقية لاختبار فعالية النهج المقترن ، وقد تم توضيح هذا النهج من خلال دراسة حالة لنظام مجلس تنسيق الطاقة الكهربائية في الشمال الشرقي ، والذي يتكون من 16 آلة و68 حافلة . وكانت النتائج ان النموذج القائم على القياس وباستعمال (MIMO-ARMAX) يمكنه التقاط جميع اوضاع التذبذب الرئيسية بنفس الدقة ولكن ترتيب اقل وكفاءة حسابية محسنة بالمقارنة مع انموذج مساحة حالة الفضاء الجزئي (MIMO) .

وفي العام نفسه قدم الباحثون ( Lu Wan& Abduselam H Beshir [14] ) دراسة تناولت المشاكل الرئيسية لأنظمة الطاقة المتعددة من حيث التوافق الكهرومغناطيسي . استعرضت هذه الدراسة تقنيات نمذجة الصندوق

الاسود المختلفة لمحولات الطاقة المتعددة ، وعرضها وتحليلها بشكل خاص على استراتيجيات النمذجة السلوكية (نمذجة الصندوق الاسود ) الاكثر ملائمة لتحليل التوافق الكهرومغناطيسي للأنظمة المعقدة التي تشمل محولات الطاقة ، حيث ناقشت الدراسة ثلاثة نتائج مختلفة من نماذج الصندوق الاسود لمقارنة دقتها وإجراءات التجريب الخاصة بها .

في عام 2022 قام الباحثان Mohd Saifizi ، & Nasrul Amri Amin، Saidon [12] وأخرون ( ARMAX، ARX) بدراسة مقارنة بين انموذجي ARMAX لتحديد انموذج ديناميكي لنظام تبريد متكامل يعتمد على التبريد الحراري الكهربائي (TEC) لتبريد التوافد الزجاجية ، وذلك من خلال مقاييس عدة منها مجموع مربعات الاخطاء SSE ، متوسط مربعات الخطأ MSE ، الجذر التربيعي لمتوسط مربعات الخطأ RMSE ، والانحراف المعياري . حيث اظهرت النتائج ان انموذج ARMAX من الرتبة 4،3،3 اعطى نسبة تطابق تصل إلى 80.23% بين البيانات المتوقعة والبيانات الحقيقية ، مقارنة بنموذج ARX من الرتبة 4)،4 الذي اعطى نسبة تطابق 78.14% .

## 2- مشكلة البحث

تكمن مشكلة هذه الدراسة في الحاجة إلى اختيار الانموذج المناسب الذي يوفر كفاءة أعلى في التنبؤ بقيم السلسلة الزمنية . يتم ذلك من خلال مقارنة مقدرات انموذج ARMAX باستعمال مقاييس دقة وتطبيق عملي على بيانات زمنية واقعية.

## 3- هدف البحث

تتمثل اهداف هذا البحث في النقاط الآتية :

1. يهدف البحث إلى تحليل ومقارنة كفاءة انموذج الصندوق الاسود ARMAX ، في التنبؤ بقيم السلسلة الزمنية وتحديداً للتنبؤ بقيم الناتج المحلي الاجمالي للعراق

2- تسلیط الضوء على بناء انموذج الصندوق الاسود ARMAX ، حيث يتم توظيف المتغير الخارجي في انموذج التنبؤ، وتحديد الانموذج الافضل من خلال استعمال معايير اختيار وطرق تقدير مختلفة .

3- تهدف الدراسة إلى تحديد الانموذج الأكثر دقة وفعالية في التنبؤ، مما يسهم في تحسين القدرة على التحليل والتنبؤ بالسلسلة الزمنية في مجالات متعددة.

## 4- نماذج الصندوق الاسود [11][15]

تصنف نماذج الصندوق الاسود على انها اساليب نمذجة احصائية تعتمد على البيانات المقاسة (المدخلات والمخرجات ) فقط دون الحاجة إلى معلومات مسبقة عن ديناميكيات النظام ، اي التغيرات التي تحدث بمرور الزمن وتتأثر العوامل الداخلية والخارجية عليه ، تستخدم نماذج الصندوق الاسود في مجالات متعددة مثل الهندسة ، وعلم البيانات ، والذكاء الاصطناعي ، والاقتصاد ، وغيرها.

يعبر رياضياً عن الهيكل المعمم لنماذج الصندوق الاسود الاحصائي في العلاقة الآتية :

$$A(q).Y(t) = \frac{B(q)}{F(q)} Z(t) + \frac{C(q)}{D(q)}.e(t) \dots (1)$$

حيث أن

$Y(t)$  : سلسلة الإخراج

$Z(t)$  : سلسلة الإدخال

$e(t)$  : الضوضاء البيضاء

وأن  $A(q), B(q), C(q), D(q), F(q)$  هي دوال متعددة الحدود تعطى على النحو التالي :

$$A(q) = 1 + a_1 q^{-1} + \cdots + a_{n_a} q^{-n_a}$$

$$B(q) = 1 + b_1 q^{-1} + \cdots + b_{n_b} q^{-n_b}$$

$$C(q) = 1 + c_1 q^{-1} + \cdots + c_{n_c} q^{-n_c}$$

$$D(q) = 1 + d_1 q^{-1} + \cdots + d_{n_d} q^{-n_d}$$

$$F(q) = 1 + f_1 q^{-1} + \cdots + f_{n_f} q^{-n_f}$$

$q^{-1}$  : تمثل مشغل الازاحة الخلفي

$n_a$  : تمثل متعدد حدود من الدرجة  $A(q)$

$n_b$  : تمثل متعدد حدود من الدرجة  $B(q)$

$n_c$  : تمثل متعدد حدود من الدرجة  $C(q)$

$n_d$  : تمثل متعدد حدود من الدرجة  $D(q)$

$n_f$  : تمثل متعدد حدود من الدرجة  $F(q)$

## 5- انموذج الانحدار الذاتي والمتوسطات المتحركة مع مدخلات خارجية [9][12]

انموذج ARMAX يشبه هيكل انموذج ARX ، إلا انه يأخذ في الاعتبار تأثير الاضطرابات المبكرة التي قد تدخل مع المدخلات إلى النظام، حيث يتميز بقدرته على الفصل بين تأثير الاضطرابات وتأثير المدخلات ، عن طريق تضمين مصطلح متوسط الخطأ المتحرك ، مما يجعل الانموذج أكثر دقة في تمثيل النظام ، وان انموذج ARMAX قابل للتطبيق في العديد من المجالات مثل التحكم ، العمليات ، والاقتصاد القياسي لكل من نمذجة النظام وتصميمه .

وأن علاقة الإدخال والإخراج هي

$$A(q).Y(t) = B(q)Z(t) + C(q)\varepsilon(t)$$

يمكن وصف معلمات هيكل أنموذج ARMAX بالمعادلة الخطية الآتية :

$$\begin{aligned} Y(t) + a_1Y(t-1) + \cdots a_{n_a}Y(t-n_a) \\ = b_1Z(t-1) + \cdots + b_{n_b}Z(t-n_b) + \varepsilon(t) + c_1\varepsilon(t-1) + \cdots \\ + c_{n_c}\varepsilon(t-n_c) \quad \dots (2) \end{aligned}$$

يمكن التعبير عن المعلمات الغير معرفة بواسطة المتوجه  $\theta$

$$\theta = [a_1 \quad a_2 \dots a_{n_a} \quad b_1 \quad b_2 \dots b_{n_b} \quad c_1 \quad c_2 \dots c_{n_c}]^T$$

#### 6- التعرف على الانموذج [8][7]

ان الخطوة الاولى والمهمة في بناء الانموذج الاحصائي هي معرفة اذا كانت كل من سلسلة الادخال وسلسلة الارجاع مستقرة ام لا في التباين والوسط ، ان العديد من السلالس الزمنية التي تمت مواجهتها في الممارسة العملية تظهر سلوكا غير مستقر وبما أن منهجة بوكس – جينكينز مخصصة للنمذاج المستقرة فقط فيجب علينا اجراء بعض التعديلات قبل ان نتمكن من نفذجة هذه السلاسل، فإذا كانت السلسلة الزمنية غير المستقرة في المتوسط فيجب اخذ الفروق الاولى، اما في التباين فيتم استعمال التحويل اللوغاريتمي وتحويل الجذر التربيعي التي تعد من اكثر التحويلات استعمالا .

#### 7- معايير اختيار الانموذج [7]

قد يكون استعمال دوال الارتباط الذاتي لاتخاذ القرار بشأن اختيار الانموذج المناسب أمرا صعبا للغاية في الممارسة العملية، الطريقة البديلة والاكثر سهولة هي استعمال معايير احصائية لاختيار الانموذج من بين مجموعة محدودة من النماذج، حيث يتم اختيار الانموذج ذو القيمة الدنيا لهذه المعايير .

معايير أكاكى للمعلومات [1]

لتقييم جودة ملائمة الانموذج قدم Akakie معياراً للمعلومات يطلق عليه (AIC) يقابل الانموذج الافضل اقل قيمة من معيار AIC يتم تعريفه كالتالي

$$AIC = 2m - 2 \ln(\text{maximized likelihood}) \quad \dots (3)$$

وللسهولة في الاستعمال وبدلاة مقدار تباين الخطأ تكون صيغة AIC كما يلي :

$$AIC = 2m + n \ln \hat{\delta}_{\varepsilon}^2 \quad \dots (4)$$

حيث ان :

m: تمثل عدد المعلمات التي سيتم تقديرها

n: عدد المشاهدات

$\hat{\delta}_\varepsilon^2$  : تقدير تباين الخطأ

- معيار المعلومات البيزي [1][3]

يعرف معيار بيز احصائيا ب BIC ويطلق عليه معيار شوارتز (Schwarz) ايضا ، وان معيار BIC متافق بشكل متقارب كمعيار لاختيار ، وهذا يعني انه بالنظر إلى مجموعة من النماذج ، بما في ذلك الانموذج الصحيح ، فان احتمال قيام BIC باختيار الانموذج الصحيح يقترب من الواحد مع اقتراب حجم العينة  $N \rightarrow \infty$  عكس معيار AIC الذي يميل إلى اختيار نماذج معقدة للغاية مع اقتراب  $N \rightarrow \infty$ ، من ناحية اخرى وبالنسبة للعينات المحدودة غالبا ما تختار BIC نماذج بسيطة جدا نظرا لابتعادها عن التعقيد .

الشكل العام ل BIC هو :

$$BIC = -2\loglik + m. (\log n) \quad \dots (5)$$

#### 8- تقدير معلمات الانموذج

بعد تحديد شكل الانموذج لابد من تقدير معلمات الانموذج باستعمال تقنيات التقدير الاحصائي ، حيث تعد هذه المرحلة الجزء الاساسي من خطوات بناء الانموذج حيث تعتمد دقة التحليل والتنبؤات الناتجة عنها بشكل كبير على جودة تقدير الانموذج . ولتقدير نماذج الصندوق الاسود (ARX) ، تم استعمال كل من طريقة المرربعات الصغرى الاعتيادية(OLS) وطريقة المتغيرات المساعدة الموسعة ، والاتي شرح مفصل عنهما :

- طريقة المرربعات الصغرى الاعتيادية[9][6]

تسعى طريقة المرربعات الصغرى للحصول على قيم المعلمات التي توفر الوصف الاكثر دقة للبيانات ، والتي يتم قياسها من حيث مدى ملائمة الانموذج للبيانات ضمن دالة الخسارة المربعة ، يتم في هذه الطريقة تقليل مجموع مربعات الخطأ (SSE) بين المشاهدات والتنبؤات .

وبالبدء نكتب معادلة الانحدار كالاتي :

$$Y(t) = \varphi^T \theta + \varepsilon(t) \quad \dots (6)$$

وان  $\varphi^T$  هو متجه يتضمن البيانات السابقة من المخرجات والمدخلات وكما يلي :

$$\begin{aligned} \varphi^T(\theta) = & [-Y(t-1) \dots \\ & - Y(t-n_a) \quad Z(t-1) \dots Z(t-n_b) \quad \varepsilon(t-1, \theta) \dots \varepsilon(t-n_c, \theta)] \end{aligned}$$

يعرف تقدير المربعات الصغرى على انه متوجه المعلمة  $\theta$  الذي يقلل من دالة الخسارة وكلاتي :

$$V_n = \frac{1}{N} \sum_{t=1}^N \varepsilon^2(t) \quad \dots (7)$$

وبتعويض معادلة خطأ التنبؤ بالمعادلة (7) :

$$V_n = \frac{1}{N} \sum_{t=1}^N (Y(t) - \varphi^T(t) \theta)^2$$

بعد اشتقاق دالة الخسارة ومساواتها بالصفر نحصل على :

$$[\sum_{t=1}^N \varphi(t) \varphi^T(t)] \hat{\theta} = \sum_{t=1}^N (Y(t) - \varphi^T(t)) \quad \dots (8)$$

وبافتراض ان المصفوفة في المعادلة (8) هي مصفوفة غير مفردة فان :

$$\hat{\theta} = [\sum_{t=1}^N \varphi(t) \varphi^T(t)]^{-1} \sum_{t=1}^N (Y(t) - \varphi^T(t)) \quad \dots (9)$$

- طريقة المتغيرات المساعدة الموسعة [5] [13]

في هذه الطريقة تم تقديم بعض التوسيعات وهي استعمال مصفوفة  $\varphi(t)$  المطورة (المعززة) اي ان  $\dim \varphi(t) > \dim \varphi(t)$  بالإضافة إلى التصفيية المسبقة للبيانات ، وان لدراسة هذه التوسيعات سببين هما :

- يمكن تحسين دقة التقديرات اذا تم اختيار المتغيرات المساعدة  $m(t)$  والمرشح المسبق  $F(q^{-1})$  بعناية .

- قد يكون من السهل تلبية شروط الاتساق لطريقة المتغيرات المساعدة الموسعة وهي :

$$1- E m(t) \cdot F(q^{-1}) \varphi^T(t) \quad \text{has rank } n\theta$$

$$2- E m(t) \cdot F(q^{-1}) \varepsilon(t) = 0$$

يتم تقديم تقدير المتغيرات المساعدة الموسعة كالتالي :

$$\hat{\theta} = \arg \min_{\theta} \|[\sum_{t=1}^N m(t) \cdot F(q^{-1}) \varphi^T(t)] \theta - [\sum_{t=1}^N m(t) \cdot F(q^{-1}) Y(t)]\|_Q^2$$

حيث ان

$F(q^{-1})$  : هو مرشح مسبق مستقر بشكل تدريجي .

عند تطبيق المعيار الموزون  $\|X\|_Q^2 = X^T Q X$  عندما  $Q$  هي مصفوفة موجبة محددة موزونة فإن

$$\hat{\theta} = \arg \min_{\theta} [\sum_{t=1}^N m(t) \cdot F(q^{-1})\varphi^T(t)\theta - \sum_{t=1}^N m(t) \cdot F(q^{-1})Y(t)]^T Q [\sum_{t=1}^N m(t) \cdot F(q^{-1})\varphi^T(t)\theta - \sum_{t=1}^N m(t) \cdot F(q^{-1})Y(t)] \quad \dots (10)$$

لتبسيط عملية الاشتغال  $\theta$  نعتمد بعض الافتراضات :

$$R_N = \sum_{t=1}^N m(t) \cdot F(q^{-1})\varphi^T(t)$$

$$D_N = \sum_{t=1}^N m(t) \cdot F(q^{-1})Y(t)$$

لتصبح  $\hat{\theta}$  بالشكل الاتي :

$$\hat{\theta} = [R_N\theta - D_N]^T Q [R_N\theta - D_N]$$

بعد اجراء عملية الضرب ثم الاشتغال بالنسبة ل  $\theta$  والمساواة بالصفر يتم التوصل إلى :

$$\hat{\theta} = [R_N^T Q R_N]^{-1} R_N Q D_N^T$$

بعد التعويض عن  $R_N$  ،  $D_N$  نحصل على :

$$\begin{aligned} \hat{\theta} = & \left\{ \left[ \sum_{t=1}^N m(t) \cdot F(q^{-1}) \varphi^T(t) \right]^T Q \left[ \sum_{t=1}^N m(t) \cdot F(q^{-1})\varphi^T(t) \right] \right\}^{-1} \cdot \left\{ \left[ \sum_{t=1}^N m(t) \right. \right. \\ & \cdot F(q^{-1})\varphi^T(t)]^T Q \left[ \sum_{t=1}^N m(t) \cdot F(q^{-1}) Y(t) \right] \} \quad \dots (11) \end{aligned}$$

#### 9- مقارنة طرائق التقدير

يمكن مقارنة طرائق التقدير المذكورة سابقا من خلال المقدرات لكل طريقة، حيث تتضمن عملية المقارنة مجموعة من المقاييس الاحصائية مثل الجذر التربيعي لمتوسط الخطأ (RMSE)، ومقاييس متوسط الخطأ النسبي (MAPE)، ومقاييس المتوسط المتماثل لمطلق الخطأ النسبي (SMAPE)، و اختيار الطريقة التي تعطي اقل قيمة لهذه المقاييس باعتبارها الطريقة الامثل للحصول على تقديرات دقيقة وموثوقة.

- مقاييس الجذر التربيعي لمتوسط مربعات الخطأ [4]

كما يشير اسمه، فإنه الجذر التربيعي لمتوسط مربعات الخطأ MSE إذا ان RMSE هو :

$$RMSE = \sqrt{\frac{1}{n} \sum_{i=1}^n (\hat{y}_i - y_i)^2} \quad \dots (12)$$

$y_i$ : القيمة الحقيقة للمخرجات

$\hat{y}_i$ : القيمة التقديرية للمخرجات

- مقياس متوسط مطلق الخطأ النسبي [2]

ويكتب بالصيغة الآتية :

$$MAPE = \frac{1}{n} \sum_{i=1}^n \left| \frac{\hat{y}_i - y_i}{y_i} \right| \quad \dots (13)$$

- المتوسط المتماثل لمطلق الخطأ النسبي [2]

تم اقتراح SMAPE لتعديل عيوب مقياس MAPE ويكتب بالصيغة الآتية :

$$SMAPE = \frac{100}{n} \sum_{i=1}^n \frac{2 * |\hat{y}_i - y_i|}{(|\hat{y}_i| + |y_i|)} \quad \dots (14)$$

[15] - التنبؤ [10]

بعد تقدير انموذج الصندوق الاسود ARMAX باستعمال الطرق المذكورة ، سنبدأ بمناقشة التنبؤ لهذه النماذج وكالاتي :

يتم كتابة التنبؤ بخطوة واحدة إلى الإمام لأنموذج ARMAX في الوقت ( $t$ ) كالاتي :

$$\begin{aligned} \hat{Y}(1) &= \hat{Y}(t+1) \\ &= -a_1 Y(t) - \cdots - a_{n_a} Y(t-n_a+1) + b_1 Z(t) + \cdots + b_{n_b} Z(t-n_b+1) \\ &\quad + \cdots + c_1 \varepsilon(t) + \cdots + c_{n_c} Z(t-n_c+1) \end{aligned} \quad \dots (15)$$

الجانب التطبيقي

11- تعريف المتغيرات [10]

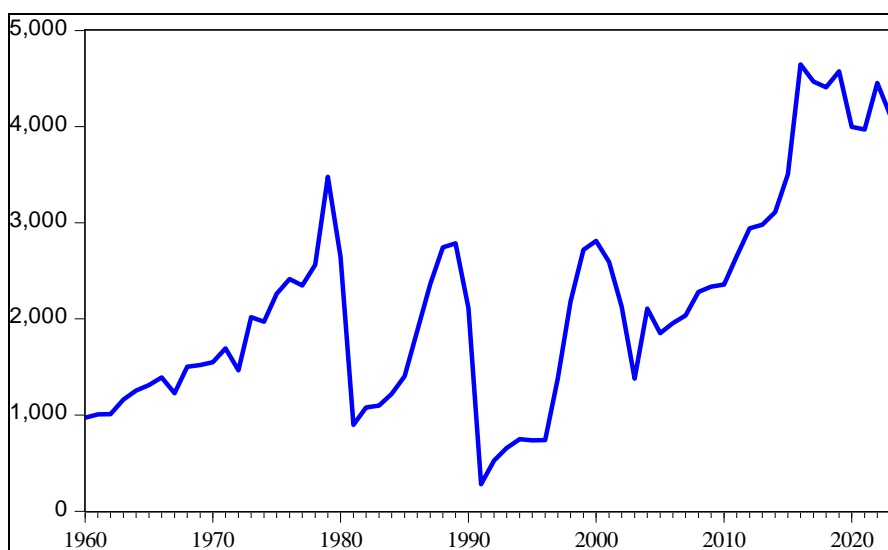
الناتج المحلي الإجمالي GDP هو القيمة الإجمالية لجميع السلع والخدمات النهائية التي تنتج داخل بلد معين ، حيث يعتبر من أهم المؤشرات الاقتصادية الرئيسية التي تشير إلى مستوى النمو الاقتصادي للعراق ، وبذلك فهو يتأثر بشكل كبير ب الصادرات النفطية ، باعتبار العراق بلد منتج ومصدر للنفط الخام ومرتكز بصورة أساسية على العوائد النفطية.

تم الحصول على البيانات التي تمثل بالناتج المحلي الإجمالي في العراق وللسنوات (1960-2023) من البنك الدولي ومن خلال الرابط : <https://data.worldbank.org>

تم اخذها من منظمة الدول المصدرة للبترول او بـك من خلال الرابط التالي :  
 ، والهدف من ذلك هو دراسة تأثير انتاج النفط والذي يمثل المدخلات ( $Z(t)$ ) على الناتج المحلي الاجمالي الذي يمثل المخرجات ( $y(t)$ ).

#### 12- التعرف على الانموذج

الشكل الآتي يوضح الرسم البياني للسلسلة( $Z(t)$ ):



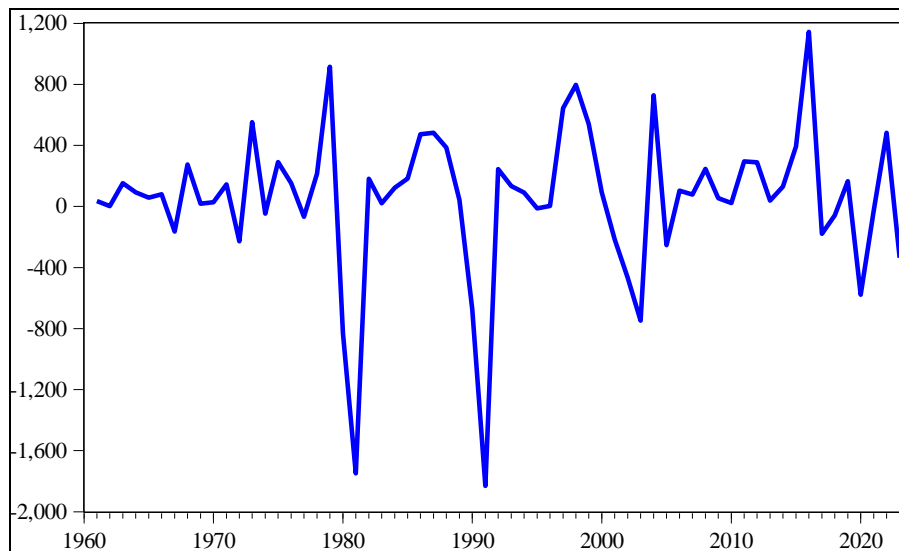
شكل (1): سلسلة  $Z(t)$  للفترة من 1960 إلى 2023.

نلاحظ من الشكل (1) أن السلسلة هي متذبذبة ومتصاعدة، ويفيد هذا الكلام الإحصاءات الوصفية المتعلقة بها، حيث إن الفرق بين أعلى قيمة وأكبر قيمة يعد كبيراً نسبياً، وكما في الجدول الآتي:

جدول(1): الإحصاءات الوصفية للسلسلة ( $Z(t)$ )

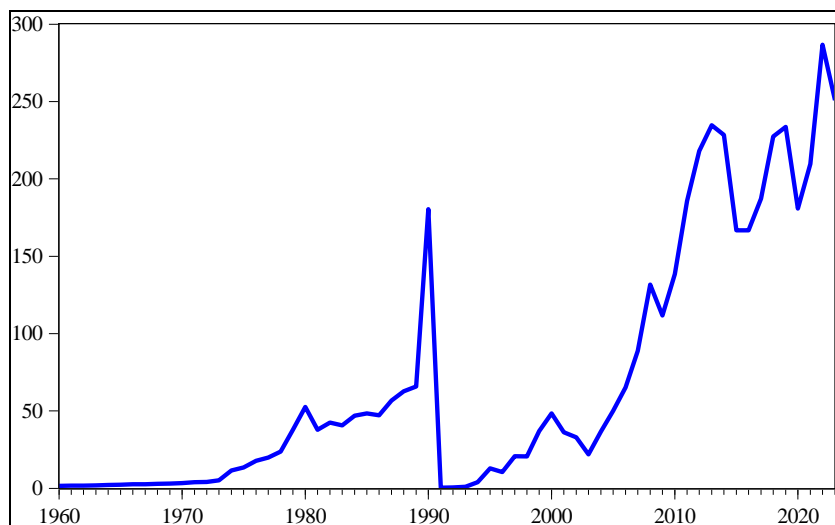
الفرق الأول	المستوى	ديكي فولر	الانحراف المعياري	أقل قيمة	أعلى قيمة	الوسط الحسابي
0.0000	0.5317	1110.767	282	4648	2156.125	

حيث تدل النتائج أن السلسلة غير مستقرة عند المستوى، بينما تصبح مستقرة عند الفرق الأول بمعنى أنها متكاملة من الدرجة الأولى (I). وفيما يأتي رسم السلسلة ( $Z(t)$  بعد أخذ الفرق الأول:



شكل(2): سلسلة  $Z(t)$  بعدأخذ الفرق.

بينما يوضح الشكل الآتي الرسم البياني للسلسلة  $Y(t)$ :



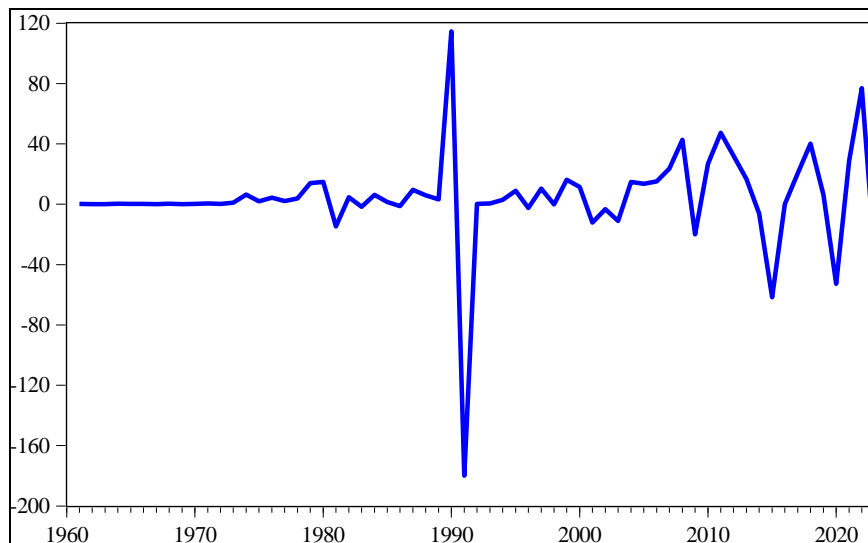
شكل(3): سلسلة  $Y(t)$  للفترة من 1960 إلى 2023

نلاحظ من الشكل (3) أن السلسلة في تصاعد مستمر تقريرياً، ويتبين ذلك أيضاً من الإحصاءات الوصفية المتعلقة بها، والجدول الآتي يعرض هذه المقاريس:

جدول(2): الإحصاءات الوصفية للسلسلة  $Y(t)$

ديكي فولر		الانحراف المعياري	أقل قيمة	أعلى قيمة	الوسط الحسابي
الفرق الأول	المستوى				
0.0000	0.6255	82.34442	0.41	286.64	70.16656

حيث تدل النتائج أن السلسلة  $Y$  غير مستقرة عند المستوى، في حين أنها تصبح مستقرة عند الفرق الأول وهذا يعني أنها متكاملة من الدرجة الأولى (I). وفيما يأتي رسم السلسلة  $(t)Y$  بعد أخذ الفرق الأول:



شكل (4) : سلسلة  $(t)Y$  بعد أخذ الفرق.

### 13- تحديد رتبة الانموذج

لتحديد رتبة النموذج تم استعمال كل من معيار أكايوك للمعلومات (AIC) ومتغير بيز للمعلومات (BIC) لكل طريقة من طرائق التقدير، وكما في الجدول الآتي:

جدول (3): نتائج معايير تحديد رتبة النموذج

Model	Order			OLS		EIV	
	a	B	q	AIC	BIC	AIC	BIC
ARMAX	1	1	1	432.22	438.60	434.18	440.56
	1	1	2	428.32	436.76	428.49	436.93

	1	1	3	424.40	434.88	425.63	436.11
	1	2	1	428.28	436.72	428.63	437.07
	1	2	2	430.12	440.67	429.51	440.06
	1	2	3	426.25	438.81	426.42	438.99
	1	3	1	424.48	434.95	425.46	435.93
	1	3	2	425.96	438.53	425.86	438.43
	1	3	3	426.53	441.19	427.39	442.05
	2	1	1	428.31	436.75	430.24	438.68
	2	1	2	429.94	440.49	429.87	440.42
	2	1	3	426.25	438.81	427.05	439.62
	2	2	1	428.58	439.13	430.00	440.56
	2	2	2	432.39	445.06	431.51	444.17
	2	2	3	427.82	442.48	428.36	443.02
	2	3	1	425.64	438.21	424.99	437.55
	2	3	2	427.95	442.61	427.04	441.70
	2	3	3	423.80	440.56	428.18	444.94
	3	1	1	424.24	434.71	<b>424.86</b>	<b>435.33</b>
	3	1	2	426.10	438.66	425.97	438.54
	3	1	3	428.66	443.32	428.33	442.99
	3	2	1	425.84	438.41	426.08	438.64
	3	2	2	427.84	442.50	427.33	441.99
	3	2	3	427.86	444.61	430.40	447.16

	3	3	1	428.03	442.69	427.00	441.67
	3	3	2	426.68	443.44	429.09	445.84
	3	3	3	<b>423.03</b>	<b>433.88</b>	429.47	448.32

نلاحظ أن أفضل نموذج مقدر بطريقة OLS هو نموذج (3,1,3,1,ARMAX)، وأفضل نموذج بطريقة EIV هو نموذج (1,1,1,ARMAX).

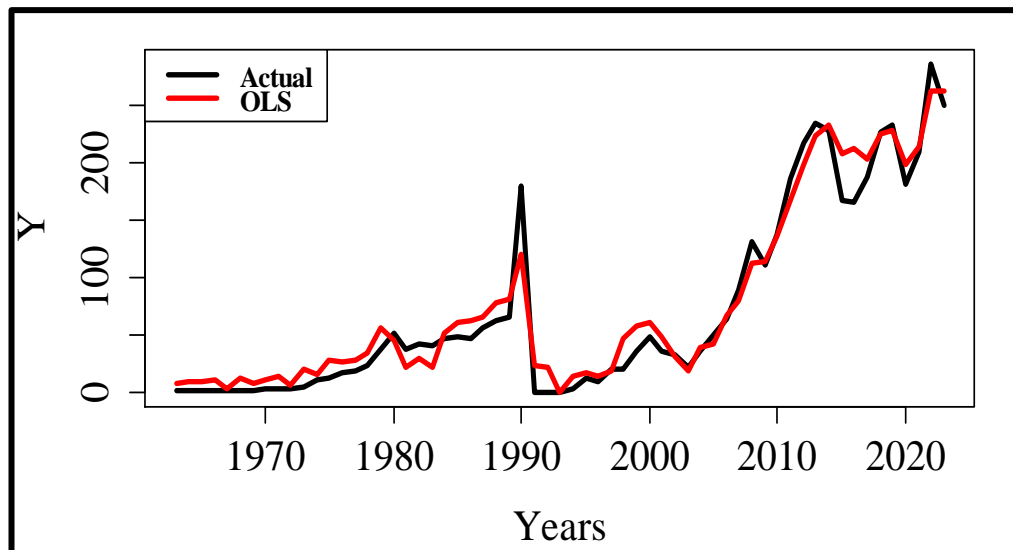
#### 14- مقارنة طرائق التقدير

لتحديد أفضل نموذج من خلال طرائق التقدير ، سيتم إجراء مقارنة من حيث عدة معايير للمقارنة بالنسبة للنماذج المذكورة سابقاً، وكانت نتائج المقارنة كما في الجدول الآتي:

جدول (4): نتائج معايير تحديد أفضل نموذج

Methods	OLS	EIV
RMSE	30.19	30.32
MAPE	6.48	6.57
SMAPE	49.34	48.36

حيث نلاحظ أن أفضل طريقة حسب معايير المقارنة هي طريقة المربيات الصغرى الاعتيادية (OLS)، يليها طريقة العوامل المساعدة الموسعة (EIV)، ولذلك سيتم الاعتماد على طريقة المربيات الصغرى الاعتيادية في تقييم النموذج. حيث تمثل البيانات في الشكل (5) القيم الحقيقية والتقييمية لسلسلة Y.



الشكل (5): القيم الحقيقية والتقديرية لسلسلة Y.

#### 15- التنبؤ

تم استعمال طريقة المربعات الصغرى في التنبؤ لأنموذج ARMAX(3,1,3,3) حتى عام 2035، وكانت النتائج كما في الجدول الآتي

جدول(5): التنبؤ بالسلسلة الزمني

Year	Forecasting
2024	236.092
2025	191.2182
2026	191.946
2027	174.938
2028	176.9088
2029	171.6953
2030	174.3801
2031	174.1547
2032	177.2141

2033	179.0924
2034	182.3337
2035	185.0925

### 13- الاستنتاجات والتوصيات

#### الاستنتاجات

استناداً إلى ما توصل إليه الجانب التطبيقي نستنتج ما يلي :

- 1- استعمل معياران لتحديد رتبة الانموذج الأفضل ، وهما (AIC و BIC)، وقد أظهرتا توافقاً على أن الرتبة الأفضل للنموذج ARMAX هي (3,3,1) لتمثيل البيانات محل الدراسة.
- 2- أظهرت طريقة المربعات الصغرى توافقاً على طريقة المتغيرات المساعدة، حيث احتلت المرتبة الأولى وفقاً لمقاييس المقارنة (RMSE، MAPE، SMAPE)، بينما جاءت طريقة المتغيرات المساعدة في المرتبة الثانية.

#### التوصيات

- 1- نوصي بإجراء مقارنة بين مقدرات نماذج الصندوق الأسود ARX،ARMAX لتحليل أداء كل منها وتحديد الانموذج الأنسب لتمثيل البيانات.
- 2- نوصي باستعمال طرائق تقدير أخرى ، مثل الأساليب البايزية والطرائق الحصينة، لتحسين عملية تقدير معلمات الانموذج وزيادة دقة النتائج.
- 3- نوصي بتطبيق نموذج ARMAX متعدد المدخلات للتبيؤ بالنتائج المحلي الإجمالي، نظراً لارتباطه بالعديد من المتغيرات المؤثرة التي تتطلب تضمينها للتبيؤ دقة التبيؤ وموثوقيته.

#### المصادر

- 1- Bisgaard, S., & Kulahci, M. (2011). Time series analysis and forecasting by example. John Wiley & Sons, Inc.
- 2- Chicco, D., Warrens, M. J., & Jurman, G. (2021). The coefficient of determination R-squared is more informative than SMAPE, MAE, MAPE, MSE and RMSE in regression analysis evaluation. PeerJ Computer Science, 7, 623.
- 3- Hastie, T., Tibshirani, R., & Friedman, J. (2009). The elements of statistical learning: Data mining, inference, and prediction. (2nd ed.). Springer.

- 4- Hodson, T. O. (2022). Root-mean-square error (RMSE) or mean absolute error (MAE): When to use them or not. *Geoscientific Model Development*, 15(15), 5481–5487.
- 5- Ljung, L. (1999). System identification: Theory for the user (2nd ed.). Prentice Hall PTR.
- 6- Lin, H., Zhu, L., Pan, Z., Bai, F., Liu, Y., Lin, L., Patel, M., Fanumtas, E., & Bhatt, N. (2022). ARMAX-based transfer function model identification using wide-area measurement for adaptive and coordinated damping control. *IEEE Transactions on Smart Grid*, 13(1), 777-788.
- 7- Matroushi, S. (2011). Hybrid computational intelligence systems based on statistical and neural networks methods for time series forecasting: The case of gold price (Master's thesis). Lincoln University.
- 8- NCSS Statistical Software. (n.d.). The Box-Jenkins Method (Chapter 470). Retrieved from <https://ncss.com>.
- 9- Rachad, S., Nsiri, B., & Benassi, B. (2015). System identification of inventory system using ARX and ARMAX models. *International Journal of Control and Automation*, 8(12), 283–294.
- 10- Rasheed, S. A. (2024). The Role of Oil Industry in The Socioeconomic Status in Iraq. The University of Basrah, Faculty of Administration and Economics, Department of Economics.
- 11- Salah-eddine, M., Sadik, S., & Bensassi, B. (2020). Microcontroller based data acquisition and system identification of a DC servo motor using ARX, ARMAX, OE, and BJ models. *Advances in Science, Technology and Engineering Systems Journal*, 5(6), 507-513.
- 12- Saidon, M. S., Amin, N. A. M., Sulaiman, A. C., Manan, M. R., Othman, S. M., Mustafa, W. A., & Wahab, N. A. B. (2022). The ARX and ARMAX models for thermoelectric cooling on glass windows: A comparative study. *Journal of Advanced Research in Fluid Mechanics and Thermal Sciences*, 97(1), 105–118.
- 13- Söderström, T., & Stoica, P. (2002). Instrumental variable methods for system identification. *Circuits, Systems, and Signal Processing*, 21(1), 1-9.

- 14- Wan, L., Beshir, A. I., Wu, X., Liu, X., Grassi, F., Spadacini, G., & Pignari, S. A. (2022). Black-box modeling of converters in renewable energy systems for EMC assessment: Overview and discussion of available models. *Chinese Journal of Electrical Engineering*, 8(2), 13–25.
- 15- Yiu, C.-M. (2008). Statistical modelling and forecasting schemes for air-conditioning system [Doctoral dissertation, The Hong Kong Polytechnic University]. Pao Yue-kong Library, PolyU Hong Kong.